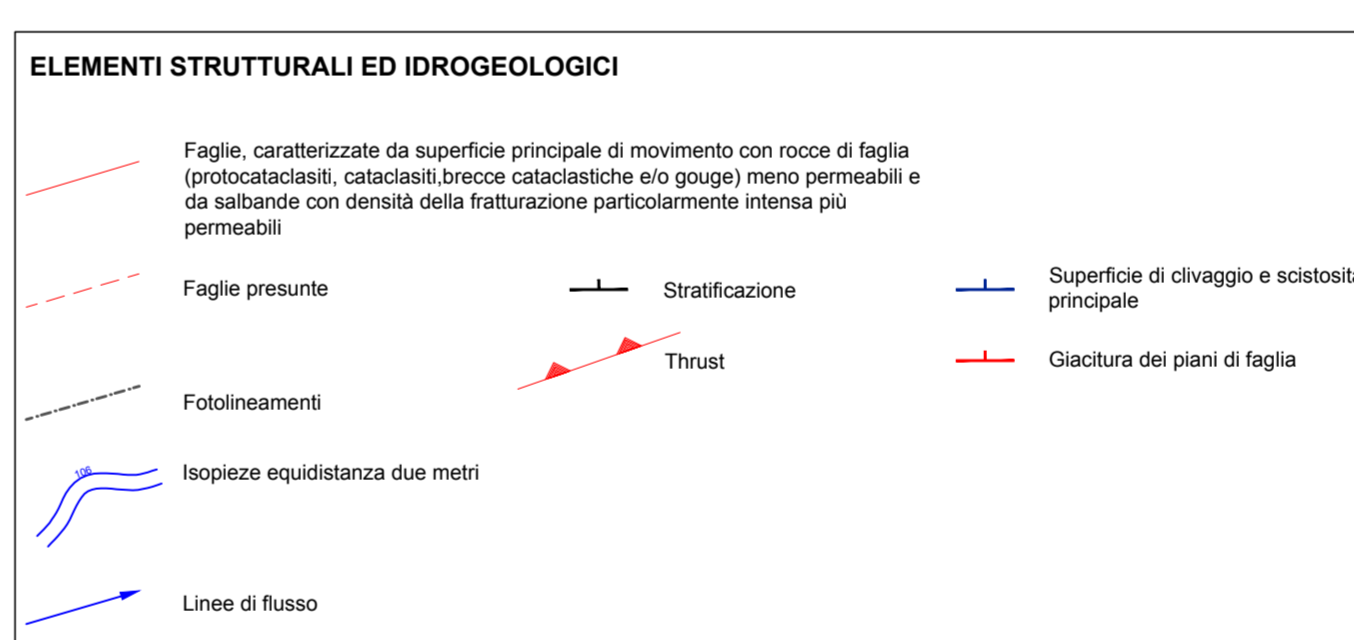


LEGENDA CARTA IDROGEOLOGICA

| N° | Complessi idrogeologici | Unità geologica | TIPO | CLASSI DI PERMEABILITÀ (m/s) in assenza di fenomeni carsici* | | | | | | FENOMENI CARSI E DI DISSOLUZIONE | | EFFETTO DI COMPARTIMENTAZIONE DELLE FAGLIE (presenza di zone impermeabili) |
|----|--|-----------------|------|--|---|---|---|---|---|----------------------------------|-----------|--|
| | | | | 1 | 2 | 3 | 4 | 5 | 6 | TIPO | INTENSITÀ | |
| 1 | Depositi fluviali attuali (a) | | P | [Diagramma: barre orizzontali per classi 1-6] | | | | | | | | |
| 2 | Depositi fluviali recenti (fp1, f3, f3a, f3b) | | P | [Diagramma: barre orizzontali per classi 1-6] | | | | | | | | |
| 3 | Depositi alluvionali medi (f2) e antichi (f1) | | P | [Diagramma: barre orizzontali per classi 1-6] | | | | | | | | |
| 4 | Coltre colturali - detritico colturali (c), detriti di falda (d), accumulo di frana (af) | | P | [Diagramma: barre orizzontali per classi 1-6] | | | | | | | | |
| 5 | Villafanchiano Aut. e sottile d'Asi (L) | | P | [Diagramma: barre orizzontali per classi 1-6] | | | | | | | | |
| 6 | Argille di Lugagnano (L1), Marna di S. Agata Fossili (mA1) | | F | [Diagramma: barre orizzontali per classi 1-6] | | | | | | | | NON RILEVANTE |
| 7 | Formazione di Cassano Spinola (C) | | P/F | [Diagramma: barre orizzontali per classi 1-6] | | | | | | | | POSSIBILE |
| 8 | Membro di Romagnolo (Gruppo della Gessoso Saffera) (gS) | | F | [Diagramma: barre orizzontali per classi 1-6] | | | | | | | | DISSOLUZIONE BASSO POSSIBILE |
| 9 | Marna di S. Agata Fossili (mA2), Marna di Cessole (mC e mC1) | | P/F | [Diagramma: barre orizzontali per classi 1-6] | | | | | | | | POSSIBILE |
| 10 | Arenarie di Serravalle (aS), Formazione di Costa Azevia (C), (C1a), Formazione di Costa Montada (mM), Formazione di Riporso - Itafocine situate con strati arenosi (r) | | F | [Diagramma: barre orizzontali per classi 1-6] | | | | | | | | POCO PROBABILE |
| 11 | Formazione di Riporso - Itafocine marosa (mR), Formazione di Molare - Itafocine siltoso-pellica (Fm), Formazione di Costa Montada (mMa, mMaC) | | F | [Diagramma: barre orizzontali per classi 1-6] | | | | | | | | POSSIBILE |
| 12 | Formazione di Molare - radica a clasti calcarei dominanti (FMaC) | | F | [Diagramma: barre orizzontali per classi 1-6] | | | | | | | | CARSISMO BASSO POCO PROBABILE |
| 13 | Formazione di Molare - Itafocine radica (FMa), Formazione di Molare - Itafocine brecciosa (FMb), Formazione di Molare - Itafocine arenacee (FMa), Breccia della Costa di Cravara (CR) | | F | [Diagramma: barre orizzontali per classi 1-6] | | | | | | | | POCO PROBABILE |
| 14 | Formazione del Monte Anzola (An) | | F | [Diagramma: barre orizzontali per classi 1-6] | | | | | | | | CARSISMO BASSO POSSIBILE |
| 15 | Argille a Palombini del Passo Della Bicchetta (aP), Metasedimenti silice (aM, aP), Scisti filadici del Monte Sarvogio (F), Argillifici neri (Mn), Argillifici di Mignonego (Mg), Argillifici di Ronco, Argillifici di Montemari (m_m), rocce associate a piani di faglia dritta (mF) | | F | [Diagramma: barre orizzontali per classi 1-6] | | | | | | | | PROBABILE |
| 16 | Metacalci di Erzelli (eL), Calcani di Voltaggio (vV), Calcani di Gallarate (G), Calcani di Lendola (eL) | | F | [Diagramma: barre orizzontali per classi 1-6] | | | | | | | | CARSISMO BASSO MEDIO POCO PROBABILE |
| 17 | Metabasalti del Monte Figogna (F), Metabasalti di Craveco (C), Metagabbri (mG), Metagabbri del Monte Crescione (mC) | | F | [Diagramma: barre orizzontali per classi 1-6] | | | | | | | | POCO PROBABILE |
| 18 | Serpentini e serpentinositi (Ss, Ss'), Metafolcalci (of, of') | | F | [Diagramma: barre orizzontali per classi 1-6] | | | | | | | | POSSIBILE |
| 19 | Dolomi del Monte Gazzo (dG) | | F | [Diagramma: barre orizzontali per classi 1-6] | | | | | | | | CARSISMO MEDIO ALTO POCO PROBABILE |
| 20 | Gessi, Anidriti e Carniole (gc) | | F | [Diagramma: barre orizzontali per classi 1-6] | | | | | | | | DISSOLUZIONE MEDIO NON RILEVANTE |

*In condizioni di base (temperatura 10°C) la permeabilità apparente varia tra 1 e 10 m/s. Per valori superiori a 10 m/s si parla di permeabilità apparente. *In presenza di fenomeni carsici, la permeabilità apparente può essere superiore a quella reale. *L'assenza di fenomeni carsici è indicata da una casella vuota. *L'assenza di fenomeni di dissoluzione è indicata da una casella vuota.



INDAGINI GEONOSTICHE

INDAGINI PREGRESSE

- SI ● Campagne indagini Ccciv (1993-2001) (P. MASSIMA)
- SD15111 ● Campagne di indagini 2001-2002 (P.P.)
- SP12 ● Campagne di indagini 2004 (P.D.)

INDAGINI P.E. LOTTO 1-5 (2012-2013/2014)

- SI 06-PZ Sondaggi Lotto 1
- L2-S1 Sondaggi Lotto 2 (LA Sondaggi per prelievo campionamento asbesto)
- L3-S1 Sondaggi Lotto 3
- L4-S1 Sondaggi Lotto 4
- L5-S1 Sondaggi Lotto 5
- S-CV42-1 Sondaggi Interconnessione Novi Ligure (P.D.)

ELEMENTI PROGETTUALI

- Tratta A.V./A.C. TERZO VALICO DEI GIOVI
- Altre opere realizzate o in corso di realizzazione

Bate topografica da rilievo di progetto.
 Fascia di dettaglio (intorno delle opere) equidistanza 5 m.
 Fascia di contorno equidistanza 25 m.
 Reticolo idrografico evidenziato in colore azzurro ove possibile sulla base delle indicazioni fornite nel file digitale.

COMMITTENTE: **RFI** RETE FERROVIARIA ITALIANA GRUPPO FERROVIE DELLO STATO ITALIANE

ALTA Sorveglianza: **ITALFERR** GRUPPO FERROVIE DELLO STATO ITALIANE

GENERAL CONTRACTOR: **CCIV** Consorzio Collegamenti Integrati Valico

INFRASTRUTTURE FERROVIARIE STRATEGICHE DEFINITE DALLA LEGGE OBIETTIVO N.443/01

TRATTA A.V./A.C. TERZO VALICO DEI GIOVI
 PROGETTO ESECUTIVO

Rampa Nord Cavalcavia km 45+750 - Tratto 0

Carta idrogeologica e dei punti d'acqua

| | | |
|--|------------------|--------|
| GENERAL CONTRACTOR | DIRETTORE LAVORI | SCALA: |
| Consorzio Cciv Via N. Masero | | 1:1000 |

| | | | | | | | |
|----------|-------|------|------|-----------|-----------------|--------|------|
| COMMESSA | LOTTO | FASE | ENTE | TIPO DOC. | OPERABISCIPLINA | PROGR. | REV. |
| 1651 | 04 | E | CV | G7 | IR1R00 | 002 | A |

| Rev. | Descrizione emissione | Redatto | Data | Verificato | Data | Progettista | Data | IL PROGETTISTA |
|------|--|---------|------------|------------|------------|-------------|------------|----------------|
| A00 | Prima emissione | GGP | 19/05/2014 | ROCKSOL | 21/05/2014 | A. Paresio | 23/05/2014 | |
| A02 | Revisione per intubatura TORIHO-GEO-FAN del 04/03/2015 | GGP | 24/11/2015 | ROCKSOL | 26/11/2015 | A. Paresio | 30/11/2015 | |
| A03 | Modifica alla cartografia a seguito 2°A.M. | GGP | 12/12/2016 | ROCKSOL | 12/12/2016 | A. Paresio | 12/12/2016 | |

Nome File: 1011-04-E-CV-IR1R-00-000000
 CUP: F19H2000000000